

ПАХТА ПНЕВМОТРАНСПОРТИ УСКУНАСИДА ОҚИМ ПАРАМЕТРЛАРИНИ БОШҚАРИШ

О.Саримсаков

Наманган мұхандислик-технология институти профессори
И.Жуманиязова

Наманган мұхандислик-технология институти талабаси
М.Инамова

Наманган мұхандислик-технология институти ассистенти

АННОТАЦИЯ

Пневмотранспорт тизимлари учун эң самарали бўлган дроссел 2 ва 3 парракли конструкциялар ҳисобланади. Шунга кўра, пахта пневмотранспортида амалда қўллаш учун, катта босимли (6-8 минг Pa) тизимлар учун 2 парракли, пастроқ (4-6 минг Pa) босимли тизимлар учун 3 парракли дросселни тавсия этамиз. 3 парракли дроссел 2 парраклига нисбатан иичи ҳолатларда камроқ аэродинамик қаршилилк кўрсатади. Аммо, 3 парракли дросселнинг конструкцияси нисбатан мураккаб ва мустаҳкамлиги ҳам нисбатан пастроқ бўлади.

Калим сўзлар: Суюқлик, газ, дроссел конструкциялари.

ABSTRACT

The most effective throttles for pneumatic transport systems are 2- and 3-bar constructions. Accordingly, for practical use in cotton pneumatic transport, we recommend a 2-piece throttle for high-pressure (6-8 thousand Ra) systems, and a 3-piece choke for lower (4-6 thousand Ra) pressure systems. A 3-bar throttle has less aerodynamic drag in working conditions than a 2-bar throttle. However, the construction of the 3-blade choke is relatively complicated and the strength is relatively low.

Keywords: Liquid, gas, throttle structures.

АННОТАЦИЯ

Наиболее эффективными дросселями для систем пневмотранспорта являются 2-х и 3-х стержневые конструкции. Соответственно, для практического применения на пневмотранспорте хлопка мы рекомендуем двухсекционный дроссель для систем высокого давления (6-8 тыс. Pa), а трехсекционный - для систем более низкого (4-6 тыс. Pa) давления. Дроссель на 3 бара имеет меньшее аэродинамическое сопротивление в рабочих условиях,

чем дроссель на 2 бара. Однако конструкция 3-лопастного дросселя относительно сложна, а прочность относительно невелика.

Ключевые слова: жидкость, газ, дроссельные конструкции.

КИРИШ

Пневмотранспорт ускунасида ҳаракатланаётган ҳаво босими, тезлиги, сарфи, температураси, қовушқоқлиги, кўндаланг кесим юзаси каби параметрлар билан ифодаланади. Бизнинг тажрибалар учун энг аҳамиятли бўлган ва ўлчаш амалга ошириладиган асосий параметрлари қўйидагилар:

1) ҳаво тезлиги – ҳаракатланаётган ҳаво зарраларининг вақт бирлиги ичида босиб ўтадиган масофасини билдиради. Ўлчов бирлиги: СИ системада м/с (метр тақсим секунд) ;

2) Ҳаво босими – ҳаво зарраларининг зўриқишидаги ҳолати бўлиб, ҳавонинг нормал ҳолатдагига қараганда деформацияланганини англатади. Агар, бирлик хажмда ҳаво зарралари нормал ҳолатдагидан кам бўлса, бу ҳолатни сийрак ҳаво муҳити (вакуум), қўп бўлса – сиқилган ҳаво муҳити, деб аталади. Ҳаракатдаги ҳаво оқимида тўлиқ босим 2 та ташкил этувчи – динамик ва статик босимларнинг алгебраик йиғиндинсига тенг бўлади:

$$P_t = P_d + P_{st}, \quad (1)$$

Суюқлик ва газларда тўлиқ босим деб, механик энергиянинг бирлик оғирликка нисбати, ёки бирлик оғирликка тўғри келадиган механик энергияга айтилади. Оқимнинг кинетик энергияси тезлик босими, ёки динамик босим, дейилади. Босим кучи энергияси ва ҳолат потенциал энергияси йиғиндинсининг бирлик оғирликка нисбати статик босим, деб аталади. Статик босим нисбатан мураккаб физиковий тузилишга эга бўлган босим бўлиб, унинг ҳаракатдаги газ учун аниқ математик ифодаси топилган эмас. Мантиқан қараганда бу босим ҳаво зарраларининг таянч юзага таъсир кучининг юза катталигига нисбатига тенг. Уни ўлчаш мумкин. Босимнинг ўлчов бирлиги Па (1 Паскаль = 1Н/1м²). Юқори даражадаги босим қўрсаткичлари барометр, динамометр, паст даражадаги босим эса микроманометр, деб номланувчи ўлчов асбоблари ёрдамида ўлчанади.

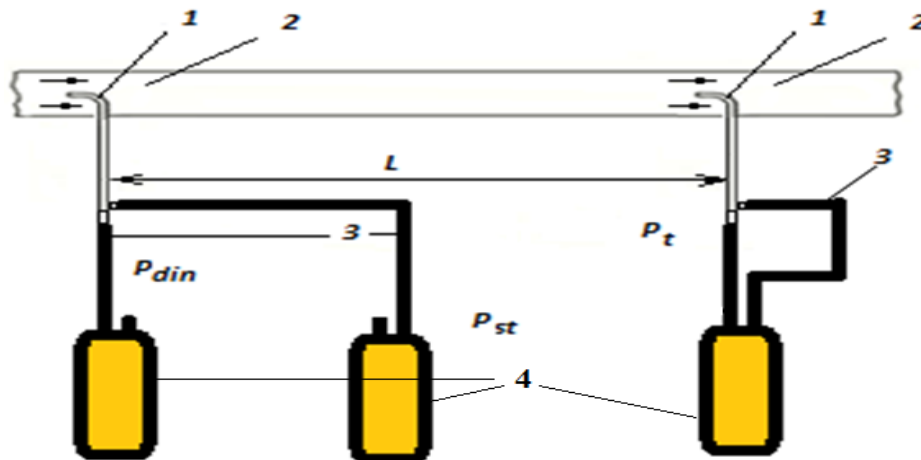
2. Тадқиқотлар усул ва воситалари

Ҳаво тезлигини анемометр ёрдамида ўлчанади. Унинг механик ва электрон турлари бор. Механик анемометр, асли худди тахометрлар каби, парраклар валининг айланишлар сонини ўлчайди. Шунинг учун ундан фойдаланиш учун, албатта, секундомер (сония ўлчагич) керак бўлади.

Аэродинамик ускунада босимни ўлчаш U-симон манометр, дифференциал манометр, микроманометр каби ўлчов асбоблари ёрдамида амалга оширилади. Барча босим ўлчаш асбобларининг иш принципи унинг ичида ўлчанаётган босимни ҳосил қилиш ва босимга сезгир муҳит орқали унинг даражасини кузатиш ва баҳолашдан иборат.

Ўлчов асбоби ичида босим ҳосил қилиш учун уни босимли муҳитга улаш керак бўлади. Бунинг учун герметик, эластик шланг ва трубкалардан фойдаланилади. 2-расмда электрон микроманометрнинг Пито трубкасига уланган ҳолдаги схемаси келтирилган.

Чизмага кўра, Пито трубкаси бири-бирининг ичига жойлашган 2 та трубкадан иборат. Ички трубканинг оғзи очик ва унинг ташқи девори катта трубка оғзини беркитиб туради. Катта трубканинг ён деворида унинг бўйлама ўқига тик тешиклар очилган. Кичик трубка ички диаметри 1 мм, ташқи трубканини 3 мм, тешиклар диаметри ҳам 1 мм ни ташкил этади. Катта трубкадаги тешикча иккала трубка орасида ҳосил бўлган бўшлиқ орқали трубка охиридаги ён штуцерга, кичик трубка тешикчаси эса унинг охиридаги бўйлама штуцерга уланади. Штуцерларга резина шланглар кийдирилиб, бу шлангларнинг 2-учи микроманометрга уланади.

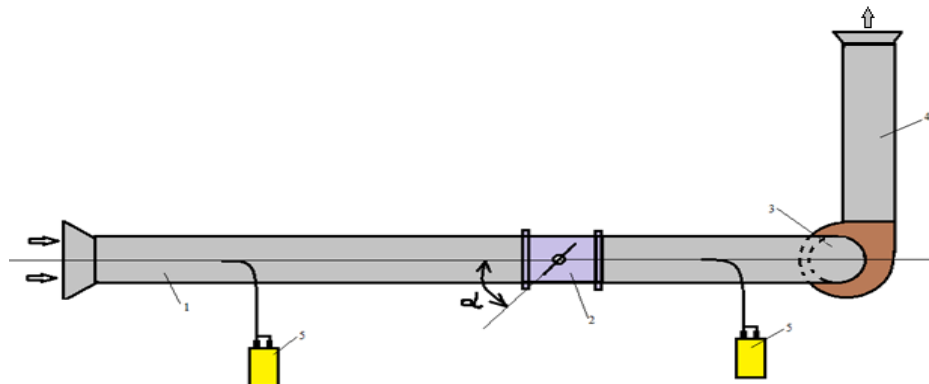


1-rasm. Pito trubkasi va uni quvur va mikromanometrغا ulash sxemasi. 1- Pito trubkasi; 2-quvur; 3-rezina shlang; 4-mikromanometr

Электрон микроманометрнинг Пито трубкасига уланган ҳолдаги схемаси 3-расмда келтирилган. Бу расмга кўра Пито трубкасининг статик босим штуцеридан келган шланг 6 микроманометрнинг ўнгдаги найчаси 3 га, динамик босим штуцеридан келган шланг микроманометрнинг чапдаги найчасига уланади.

Экспериментал қурилмада аэродинамик ўлчовларни ўтказиш

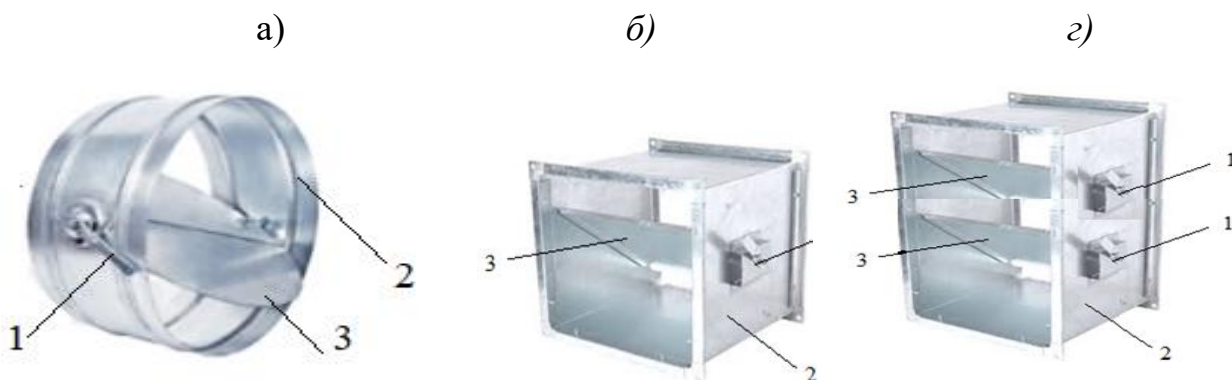
Дросселларни синовдан ўтказиш учун (2-расм) қуйидаги экспериментал қурилма тайёрланди.



2-расм. Экспериментал қурилма схемаси.

1-кириш қувури; 2-дросSEL; 3-вентилятор; 4-чикиш қувури; 5-электрон микроманометр Пито трубкаси билан.

Тадқиқотларимизда фойдаланиш учун қуйидаги дросSEL турлари танланди (2-3расмлар).



3-расм. ДросSEL қурилмаларининг умумий кўриниши.

а) айлана шакли; б)тўртбурчак шакли 1 парракли; тўртбурчак шакли 2 парракли дросSEL конструкциялари

Барча турдаги дросSEL конструкциялари 400 mmли қувурга мослаб, 2 mm қалинликдаги руҳланган пўлатдан тайёрланди. Қурилма горизонтал қувур 1, дросSEL 2, вентилятор 3 ва чикиш қувури 4дан иборат бўлиб, қувур диаметри 400 mm, вентилятор ВЦ-10 электромотори 30 kWt қувватга эга. Қувур 1 узунлиги 20 м.

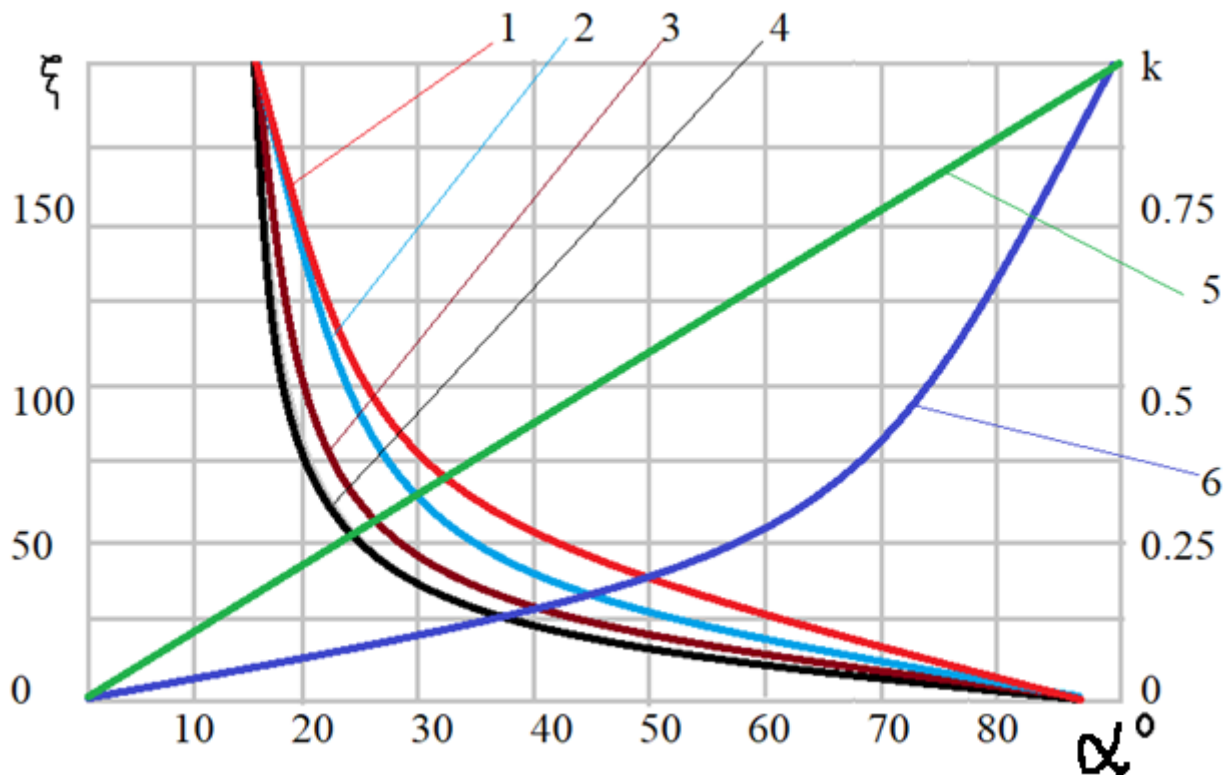
Дресселдан 1.2 метр олдинда ва 1.2 метр кейин қувурга Пито трубкаси киритилган ва у электрон микроманометрга уланган. Ўлчовлар қуидаги амалга оширилди:

Вентилятор 3 ишга туширилгач, ҳаво оқими стабиллашгандан кейин, дрессел 2 парраги керакли ҳолатга келтирилди ва дресселдан олдинги ва кейинги динамиқ, статик ва түлиқ босим ўлчанди ва натижалар жадвалга киритилди. Кейин, дрессел 2 парраклари навбатдаги ҳолатга ўтказилди ва ўлчовлар такрорланди. Ўлчов маълумотлари жадвалга киритилди.

Зарур ўлчовлар олиб бўлингач, дрессел 2 кейинги турдаги дресселга алмаштирилди ва ўлчовлар қилиниб, олинган натижалар тегишли жадвалларга киритилди. Аэродинамик қаршилик коэффициенти қуидаги тенглама ёрдамида аниқланди ва жадвалга жойланди:

$$\lambda = L \rho d^2 / 2$$

Ўлчовлар дрессел 2 парракларининг дастлабки ҳолати – у вертикал ўққа параллел бўлган, яъни қувур кесими тўлиқ ёпиқ бўлган ҳолатга нисбатан 20 градус бурилган ҳолатдан бошланди ва ҳар 10 градусга бурилган ҳолат учун амалга оширилди. Экспериментлар натижалари график кўринишида 3.11-расмда келтирилган.



4-расм. Турли дресселлар аэродинамик қаршилигини аниқлаш бўйича ўлчовлар натижалари. 1-айлана шаклдаги; 2-тўртбурчак шаклдаги 1

паракли; 3-тўртбурчак шаклдаги 2 паракли; 4-тўртбурчак шаклдаги 3 паракли дроссел кўрсаткичлари

Шуни алоҳида таъкидлаш лозимки, дроссел парраклари тўлиқ очилган ҳолатда ҳам муайян даражадаги қаршилик мавжуд. Бу қаршилик, горизонтал ҳолатда турган клапанинг вертикал текисликдаги проекциясига боғлиқ. Шунинг учун, паррак сони ошиб борган сари бу проекция миқдори ва унга мос равища қаршилик коэффициенти ҳам ортиб бораверади.

Парраклар тўлиқ ёпилган ҳолатда барча дорсселларда бир ҳил натижа бўлиши керак. Аммо, бир ҳил шароит бўлишига қарамай, кўп парракли дросселларда парраклар тўлиқ ёпиқ ҳолатида босим нисбатан паст. Лекин, парраклар сони қанчалик кўп бўлса, механик система ишончлилиги шунчалик паст бўлади. Шу нуқтаи назардан қараганда, ҳар қандай тизим учун, шу ўринда, ҳаво оқимини бошқарувчи механизмларда ҳам ишчи элементлар сони имкон қадар кам бўлиши мақсадга мувофиқдир.

Парраклар сони кўп бўлишининг бошқа бир ижобий жиҳати шундаки, улар ҳаво оқимини нисбатан барқарор равища ўзгартириб бера олади. Айниқса, парракларнинг оралиқ ҳолатлари, яъни оғиш бурчаги а нолдан юқори ва 90 градусдан кичик бўлган ҳолларда кўп парракли дросселлар камроқ аэродинамик қаршилик кўрсатади.

Шу ўринда, экспериментлар давомида, энг содда ва кўп қўлланадиган айлана шаклдаги бир парракли дроссел ишчи ҳолатларда зарур бўлган ҳаво босими ва тезлигини юқори аниқликда таъминлаб бера олмаслиги ҳамда шу ҳолатга мос келадиган аэродинамик қаршилиги юқори экани кузатилди. Шунинг учун, бу конструкциядаги дросселлардан энг иложсиз ҳолатлардагина, масалан, дроссел ўрнайдиган масофа ўта қисқа ва жой тор бўлган ҳолатлардагина қўллаш мақсадга мувофиқ.

Юқоридаги таҳлилларга кўра хulosса қилиш мумкинки, пневмотранспорт тизимлари учун энг самарали бўлган дроссел 2 ва 3 парракли конструкциялар ҳисобланади. Шунга кўра, пахта пневмотранспортида амалда қўллаш учун, катта босимли (6-8 минг Pa) тизимлар учун 2 парракли, пастроқ (4-6 минг Pa) босимли тизимлар учун 3 парракли дросселни тавсия этамиз. 3 парракли дроссел 2 парраклига нисбатан ишчи ҳолатларда камроқ аэродинамик қаршилик кўрсатади. Аммо, 3 парракли дросселнинг конструкцияси нисбатан мураккаб ва мустаҳкамлиги ҳам нисбатан пастроқ бўлади. Хulosса қилиб, навбатдаги тадқиқотлар учун, 2 ва 3 парракли тўртбурчак кесимли дросселлар танланди ва аввалги тадқиқотларда танланган винтли ростлаш механизми

билин уни умумлаштириб, ҳаво оқимини бир меъёрда бошқариш имконини берадиган, ишончли ва мустаҳкам бўлган 2 ва 3 парракли, винтли фиксаторга эга бўлган дроссел конструкциялари ишлаб чиқилди.

REFERENCES

1. Саримсаков О. «Пахта пневмотранспорти ускунасида ҳаво тезлигининг ҳаво қувури кўндаланг кесими бўйича тақсимланиши» Фарғона политехника институти илмий-техника журнали.№1, 2017, 34-39 б. (05.00.00 №20)
2. Саримсаков О. «Пахта пневмотранспорти ускунаси асосий параметларининг ўзаро боғланиши» Фарғона политехника институти илмий-техника журнали.№4, 2016., 149-152 б., (05.00.00 №20)
3. Саримсаков О. Рузметов М. “Фарам бузиш машинаси ишчи органларининг пахта билан таъсирлашуви динамикаси”. Журнал «Тўқимачилик муаммолари». №4, 2016й., 89-92 б.,(05.00.00 №6).
4. Sarimsakov, O., Xusanov, C., & Muradov, R. (2016). The Change in Air Pressure Along the Length of the Pipeline Installation for Pneumatic Conveying of Raw Cotton. *Journal of Engineering and Technology*, 3, 89-92.
5. Olimjon, S., Sadi, X., & Rustam, M. The Possibility of Reducing Air Consumption and Power Consumption in Pneumatic Conveying of Raw Cotton. *system*, 4(5), 6.